



بررسی نشت، نیروی بالابرند و گرادیان هیدرولیکی در زیر سازه های هیدرولیکی با ترکیب بندی مختلفی از دیوارهای آب بند دوگانه

فرزین سلماسی*، بهرام نورانی، رضا نوروزی

دانشکده کشاورزی، دانشگاه تبریز، تبریز، ایران.

تاریخچه داوری:

دریافت: ۱۴۰۰/۰۱/۲۶

بازنگری: ۱۴۰۰/۰۴/۲۱

پذیرش: ۱۴۰۰/۰۵/۱۶

ارائه آنلاین: ۱۴۰۰/۰۵/۲۳

کلمات کلیدی:

دیوار آب بند

نیروی بالابرند

گرادیان هیدرولیکی خروجی

سازه هیدرولیکی

المان محدود

خلاصه: در طراحی سازه های هیدرولیکی از دیوارهای آب بند، برای کنترل نیروی بالابرند و گرادیان هیدرولیکی خروجی استفاده می شود. در این تحقیق نحوه قرار گیری دیوار آب بند دوگانه در زیر سازه های هیدرولیکی از لحاظ موقعیت، فاصله و همچنین عمق کارگزاری آن ها به روش عددی مورد بررسی قرار گرفت. حل معادلات حاکم به همراه شرایط مرزی، به روش المان های محدود (FEM) انجام گرفت. نتایج نشان داد که اگر دیوار آب بند پایین دست از دیوار آب بند بالادرست عمیق تر باشد، باعث افزایش برآیند نیروی بالابرند نسبت به حالت بدون دیوار آب بند خواهد شد. به ازای یک عرض ثابت برای سازه، با کاهش فاصله دو دیوار آب بند نسبت به هم، نیروی بالابرند (U) کاهش پیدا می کند. هر چه عرض سازه کمتر و یا عمق بی نفوذی بیشتر باشد، نیروی بالابرند کمتر خواهد بود. با افزایش فاصله دو دیوار آب بند نسبت به هم و افزایش عمق دیوار آب بند انتهایی، گرادیان هیدرولیکی خروجی (G_R) کاهش می یابد. مقدار G_R هنگامی که دو دیوار آب بند در ابتدا و انتهای سازه قرار داشته باشند، نسبت به حالتی که دیوار آب بند انتهایی در موقعیت $L/B = 0.33$ و $L/B = 0.66$ نسبت به دیوار آب بند ابتدایی باشد، کمتر خواهد شد. مقایسه نتایج حاصل از مدل عددی با نتایج ارائه شده در تحقیقات قبلی برای یک شرایط یکسان نشان داد که حداکثر خطا در مدل عددی جهت برآورد فشار آب منفذی در انتهای سازه (C) و گرادیان هیدرولیکی خروجی (G_R) کمتر از ۵٪ می باشد.

۱- مقدمه

فروپاشی سازه را در پی داشته باشد. بررسی موقعیت خط نشت آزاد^۱ و مقدار دبی نشتی در سدهای خاکی از اهمیت ویژه ای برخوردار است. به دلیل اینکه خط نشت آزاد، مرز جدا کننده منطقه اشباع و غیر اشباع است و تعیین موقعیت آن در پایداری سدهای خاکی اهمیت دارد. استفاده از دیوارهای آب بند یکی از معمول ترین روش ها برای مقابله با نشت در سازه های ذخیره آب همچون سدها (خاکی و بتنی)، مخازن، بندها، خاکریزها و کanal های آبیاری می باشند. دیوارهای آب بند همچنین برای اطمینان از استحکام سازه در مقابل پدیده جوشش ماسه و زیرشوابی پی (پایینگ) استفاده می شوند [۳]. سدهای بتنی نمونه ای از سدهای وزنی می باشند که مواد تشکیل دهنده آن ها از بتن است. امروزه با کمک روش های جدید تهیه بتن، بیشتر سدهای وزنی از بتن ساخته می شوند. عاملی که سبب مقاومت این دسته از سدها در مقابل نیروهای واردہ به بدنه و پی آن ها است، وزن خود سد است. به عبارتی تعادل ایستایی این سدها به وزن آن ها بستگی دارد [۲]. در سدهای بتن وزنی، نیروی بالابرند جزو نیروهای مخرب و کاهش دهنده پایداری سد

سد های وزنی به دلیل طراحی و اجرای نسبتاً ساده در مقایسه با انواع دیگر سدهای بتنی مورد توجه قرار گرفته اند. همچنین اجرای این نوع سدها نسبت به سایر سدهای بتنی اقتصادی تر است. این سدها در مناطق دره های تنگ یا دره هایی با شبی تندر که امکان لغزش سدهای خاکی وجود دارد، جایگزین مناسبی محسوب می شوند [۱]. ساخت سد وزنی از سد خاکی پرهزینه تر است، اما در صورتی که مصالح کافی و مناسبی برای ساخت سد خاکی وجود نداشته باشد، سد وزنی گزینه مناسبی خواهد بود. این نوع سد در پی های محکم با هر ارتفاعی قابل اجرا بوده و به طور کلی نسبت به سدهای خاکی ایمن تر و پایدار تر است [۲]. یک سد وزنی در مقابل فشار آب و دیگر نیروها، توسط وزن خود مقاومت می کند. بنابراین پایداری سد وزنی بستگی به وزن آن دارد.

اگر پدیده پایینگ^۱ یا آب شستگی زیر پی متوقف نشود، ممکن است

1 Piping phenomenon

* نویسنده عهده دار مکاتبات: Salmasi@tabrizu.ac.ir

2 Phreatic line

(Creative Commons License) حقوق مؤلفین به نویسنده اگان و حقوق ناشر به انتشارات دانشگاه امیرکبیر داده شده است. این مقاله تحت لیسانس آفرینندگی مردمی (Creative Commons License) در دسترس شما قرار گرفته است. برای جزئیات این لیسانس، از آدرس <https://www.creativecommons.org/licenses/by-nc/4.0/legalcode> دیدن فرمائید.



در پاشنه هسته است. سلماسی و همکاران [۱۱] به بررسی اثر هسته رسی مایل بر پایداری سد خاکی با روش‌های FEM و LEM پرداختند. نتایج بررسی آن‌ها نشان داد که پایداری شبیه‌الادست سد خاکی با هسته رسی مایل بیشتر از هسته رسی قائم است. سلماسی و همکاران [۱۲] عملکرد چاههای فشارشکن برای کاهش نیروی بالابرند در زیر سدهای خاکی را به صورت عددی بررسی کردند. نتایج بررسی آن‌ها نشان داد که کاهش فاصله بین چاههای فشارشکن یا افزایش قطر چاهها منجر به کاهش نیروی بالابرند می‌شود. سپس نتایج به دست آمده توسط شبیه‌سازی‌های عددی متنوع، منجر به ارائه معادلات غیرخطی رگرسیونی برای برآورد دقیق نیروی بالابرند شد.

بررسی تحقیقات انجام گرفته در گذشته نشان داده که اکثر مطالعات قبلی مربوط به یک دیوار آببند در زیر سازه بوده است و تأثیر دو دیوار آببند زیر سازه به طور همزمان در سطح محدود انجام گرفته است. عموماً در طراحی سازه‌های هیدرولیکی نیاز به دو دیواره آببند است. دیوار آببند بالادرست جهت کاهش دبی نشتی و نیروی بالابرند به کار می‌رود در حالی که دیواره آببند پایین دست برای کاهش گرادیان هیدرولیکی خروجی (و عدم ایجاد پدیده جوشش ماسه) مورد استفاده قرار می‌گیرد. لذا در تحقیق حاضر تأثیر نحوه قرارگیری دیوار آببند دوگانه در زیر سازه‌های هیدرولیکی از لحاظ موقعیت، فاصله و همچنین عمق کارگذاری آن‌ها در مقدار نیروی بالابرند، جریان نشتی از زیر سازه و گرادیان هیدرولیکی خروجی مورد بررسی قرار می‌گیرد. برای این کار از روش عددی المان محدود استفاده گردید و برای صحبت‌ستجی آن نیز از نتایج ارائه شده توسط محققان قبلی برای شرایط معین و یکسان بهره برده شد.

۲- الگوسازی نظری یا تجربی

معادلات حاکم؛ معادله عمومی جریان در محیط‌های متخلخل همان معادله پیوستگی است که در تلفیق با رابطه دارسی برای دبی عبوری از یک محیط متخلخل به شکل زیر تبدیل می‌شود:

$$\frac{\partial}{\partial t}(\rho\theta) = \left[\frac{\partial}{\partial x}\left(\rho K_x \frac{\partial h}{\partial x}\right) + \frac{\partial}{\partial y}\left(\rho K_y \frac{\partial h}{\partial y}\right) + \frac{\partial}{\partial z}\left(\rho K_z \frac{\partial h}{\partial z}\right) \right] \quad (1)$$

که در آن h بار آبی کل (L)، ρ چگالی سیال (M/L^3)، محتوای حجمی آب (L^3/L)، t زمان (T) و K ضریب هدایت هیدرولیکی محیط

است. یکی از روش‌هایی که برای بررسی نیروی بالابرند در زیر سد استفاده می‌شود، رسم شبکه جریان^۱ است. شبکه جریان متشکل از خطوط جریان و خطوط هم‌پتانسیل است. از آنجایی که رسم شبکه جریان، تقریبی و کمدقت است، در حال حاضر از روش‌های حل عددی استفاده می‌گردد [۴].

یوسفی و همکاران [۵]، به بررسی اثر موقعیت بهینه دیوار آببند^۲ قائم در کاهش نشت و سرعت جریان در زیر سازه‌های آبی با استفاده از مدل عددی پرداختند و به این نتیجه رسیدند که بهترین مکان برای کنترل نشت و زیرشویی، به ترتیب در پاشنه و پنجه سد است.

آقاجانی و همکاران [۶] به بررسی موقعیت بهینه دیوار آببند در سد خاکی با هسته شبیه‌دار پرداختند. نتایج نشان داد که چنانچه دیوار آببند به کف با نفوذپذیری کم متصل نباشد، تأثیر موقعیت‌های مختلف دیوار آببند بر میزان نشت ناچیز خواهد بود. اگر دیوار آببند در پاشنه سد ساخته شود، کمترین میزان نشت اتفاق می‌افتد. زمانی که عمق دیوار آببند برابر عمق نفوذپذیر پی باشد، میزان نشت از زیر سازه به طور کامل به موقعیت دیوار آببند بستگی خواهد داشت. احتمالاً نویسنده‌گان در کار تحقیقی خود، اشاره به نشت جزیی از محل اتصال به سنگ کف، یا نشت جزیی از خود دیوار آببند و یا آببند نبودن صد درصدی سنگ کف داشته‌اند.

نورانی و همکاران [۷] عملکرد زهکش‌های پی در کاهش نیروی بالابرند در سدهای بتنی وزنی را مورد بررسی قرار دادند. نتایج نشان داد که افزایش قطر زهکش تأثیر کمی نسبت به سایر پارامترها در کاهش نیروی بالابرند دارد. به عبارت دیگر، انتخاب قطر زهکش‌ها تابع ملاحظات اجرایی است؛ اما کاهش فاصله زهکش‌ها از هم و کاهش فاصله از بالادرست سد تا یک حد معینی می‌تواند نقش بسزایی در کاهش نیروی بالابرند داشته باشد.

سلماسی و نوری [۸] اثر پتوی رسی در بالادرست سد خاکی را مورد مطالعه قرار دادند. ایشان با تغییر دادن ضخامت، طول پتوی رسی و نفوذپذیری آن، مقدار دبی نشت از زیر پی سد را به دست آورند. اثر چاهک‌های فشارشکن در پایین دست سد خاکی بر تقلیل نیروی بالابرند توسط سلماسی و همکاران [۹] بررسی شد. در آن تحقیق، عمق چاهک‌ها، فاصله و قطر آن‌ها متغیر در نظر گرفته شد و نمودارهایی برای طراحی این‌گونه چاهک‌ها ارائه گردید. نوروزی و همکاران [۱۰] تأثیر دیوار آببند بر گرادیان هیدرولیکی و نشت در سد سنگریزهای سبلان را بررسی کردند. تغییر در موقعیت دیوار آببند سد برای دستیابی به حداقل گرادیان هیدرولیکی نشان داد که محل بهینه به لحاظ حداقل گرادیان هیدرولیکی، پنجه هسته و به لحاظ کاهش دبی نشتی

1 Flow net

2 Cutoff wall

جدول ۱. محدوده تغییرات پارامترهای مورد بررسی در تحقیق حاضر

Table 1. Dimensionless parameter values in this study

پارامترهای مورد بررسی	مقادیر پارامترهای مورد بررسی در مدل عددی					
نسبت عرض سازه به عمق پی سازه (B/D)	۰/۷	۰/۹	۱/۲۵	۱/۵۰	۱/۷۵	۲/۰
نسبت عرض سازه به عمق دیوار آببند انتهایی (B/d ₂)	۴	۶	۸	۱۰	۱۵	۲۰
نسبت فاصله دیوارهای آببند به عرض سازه (L/B)	۰/۳۳	۰/۶۶	۱	-	-	-
نسبت عمق دیوارهای آببند پایین دست به بالادست (d ₂ /d ₁)	۰/۶۶	۱	۲	-	-	-

۲-۲- تعیین هدایت هیدرولیکی و اعمال شرایط مرزی

برای انجام شبیه‌سازی عددی و بررسی اثر دیوارهای آببند دوگانه بر خصوصیات جریان نشستی از زیر سازه‌های هیدرولیکی، یک محیط متخلخل به صورت همگن^۱ و ایزوتروپ^۲ با ضریب هدایت هیدرولیکی اشباع^۳ برابر با 10^{-5} متر در ثانیه در نظر گرفته شد. هدایت هیدرولیکی برای دیوارهای آببند در زیر سازه صفر در نظر گرفته شده است. شرایط مرزی مربوط به تراز آب در بالادست و پایین دست سازه هیدرولیکی به صورت بار آبی ثابت به ترتیب برابر ۳۰ و صفر متر و مرزهای مربوط به کف سازه هیدرولیکی و همچنین کف و دیواره محیط متخلخل زیر سازه هیدرولیکی به صورت جسم صلب (غیرقابل نفوذ)^۴ در نظر گرفته شده است.

در تحقیق حاضر برای جلوگیری از تأثیر اندازه شبکه‌ها در حل معادلات حاکم، آزمون مستقل از شبکه (آنالیز حساسیت شبکه) صورت گرفت (شکل ۲) و تعداد شبکه مناسب انتخاب شد. در این شبیه‌سازی، تعداد شبکه مناسب در حدود ۱۵۰۰۰ به دست آمد (تعداد المان در هر متر مربع حدود ۱۱ عدد منظور شده است). شکل ۳ نحوه اعمال شرایط مرزی و نحوه شبکه‌بندی در پی سازه هیدرولیکی در شرایطی که نسبت عرض سازه (B) به عمق دیوارهای آببند (d₁ و d₂) برابر با ۴ باشد (d₁=d₂) را نشان می‌دهد. ضمناً شکل ۳ برای حالت (d₂) صادق است.

متخلخل در جهت محور X، Y، Z (L/T) می‌باشد. در محیط‌های اشباع و جریان ماندگار، میزان تغییرات آب موجود در واحد حجم خاک نسبت به زمان صفر است. همچنین در محیط‌های همگن و دارای خواص یکنواخت، ضریب نفوذپذیری در همه جهات یکسان بوده (خاک ایزوتروپ) و در این صورت رابطه (۱) به رابطه (۲) تبدیل می‌شود که به معادله لابلس مشهور است:

$$\frac{\partial^2 h}{\partial x^2} + \frac{\partial^2 h}{\partial y^2} + \frac{\partial^2 h}{\partial z^2} = 0 \quad (2)$$

در این تحقیق برای حل معادله حاکم بر جریان در محیط متخلخل با توجه به شرایط مرزی مربوط به مسئله، از نرمافزار SEEP/W که به روش المان محدود (FEM) به حل مسائل می‌پردازد، استفاده شده است.

۲-۱- هندسه و ابعاد مدل

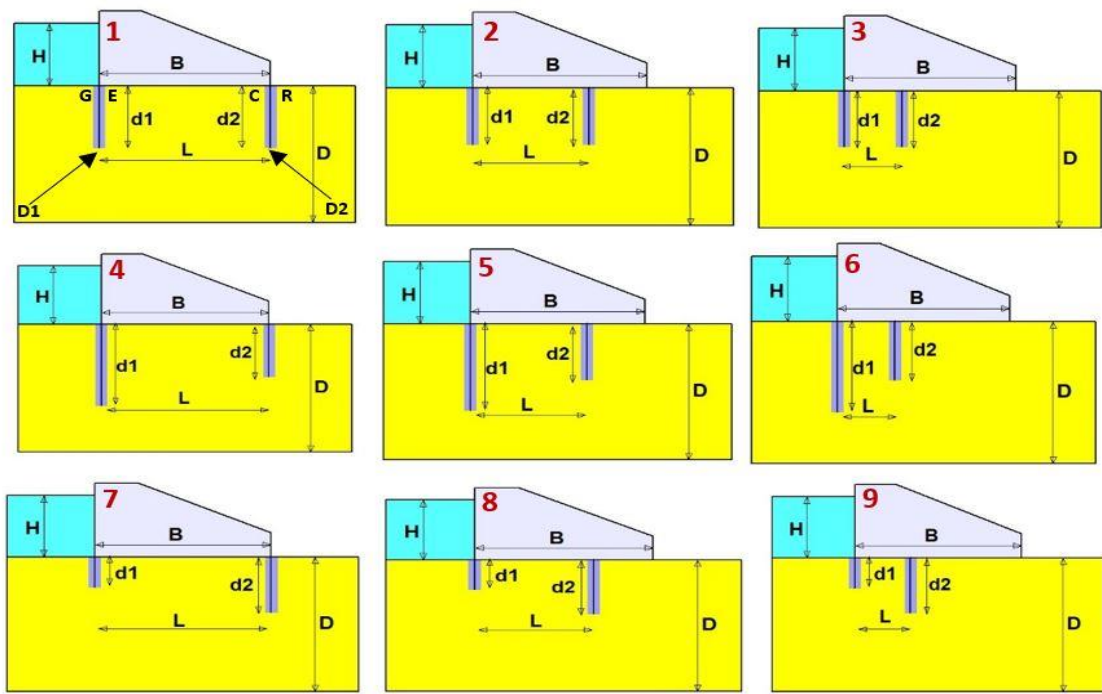
به منظور بررسی اثر دیوارهای آببند دوگانه بر توزیع نیروی بالابرند، برآیند نیروی بالابرند، گرادیان هیدرولیکی خروجی و دبی نشستی از زیر سازه‌های هیدرولیکی، برای تعداد ۳۲۴ مدل (تعداد ۳۲۴ مدل عددی در شرایط وجود دیوار آببند و ۶ مدل در حالت بدون دیوار آببند) شبیه‌سازی عددی انجام گرفت. محدوده پارامترهای مهم در این تحقیق در جدول ۱ ارائه شده است. لازم به ذکر است در این تحقیق عمق پی (D) و بار آبی (H) به ترتیب ۱۵ و ۳۰ متر در کلیه مدل‌ها در نظر گرفته شده است. در شکل ۱ موقعیت، نحوه قرارگیری و پارامترهای مورد مطالعه در تحقیق حاضر، نشان داده شده است.

1 Homogenous

2 Isotropic

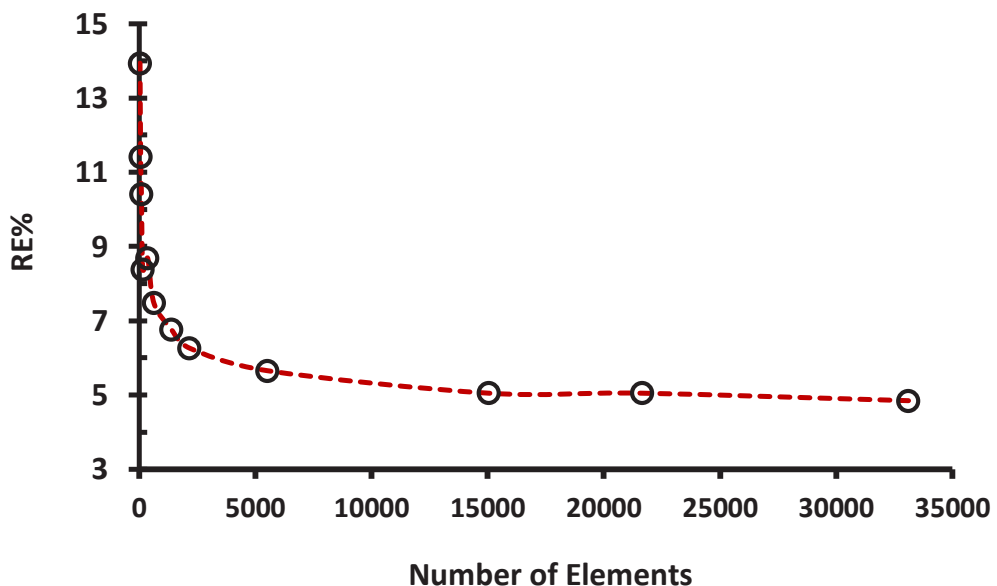
3 Hydraulic conductivity

4 Impenetrable



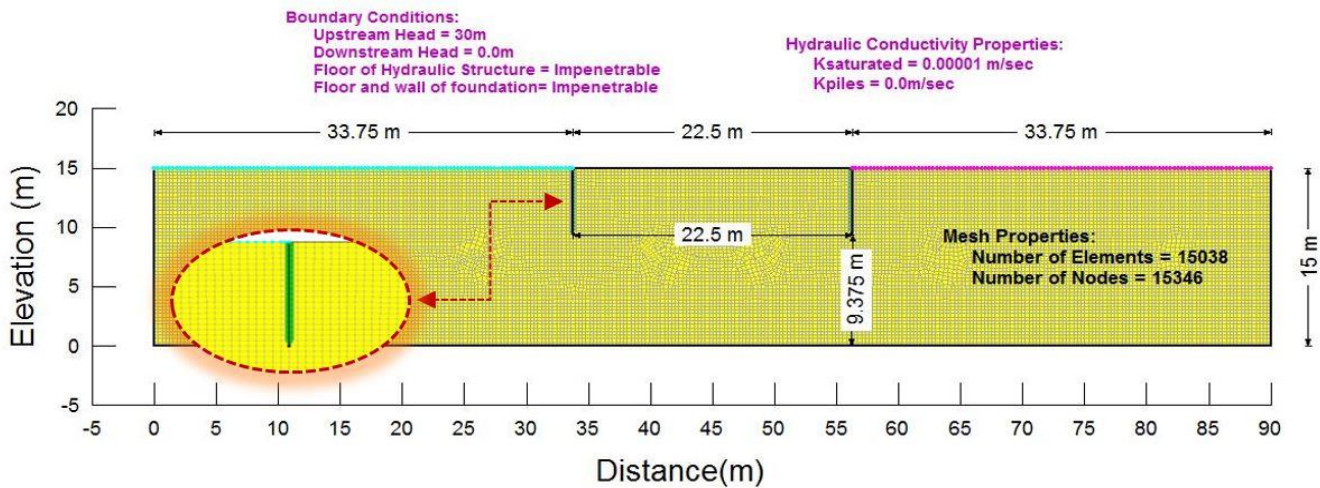
شکل ۱. نحوه قرارگیری دیوارهای آببند دوگانه در زیر سازه هیدرولیکی به همراه پارامترهای مورد بررسی

Fig. 1. Illustrations of different configurations of double cutoff walls under the hydraulic structure



شکل ۲. آزمون مستقل از شبکه‌بندی برای تحقیق حاضر

Fig. 2. The RE% for different number of elements



شکل ۳. اختصاصات هدایت هیدرولیکی و شرایط مرزی به محیط متخلخل زیر سازه هیدرولیکی به همراه دیوار آب بند دوگانه و نحوه شبکه بندی محیط برای شرایط $(L/B=1, B/d_1=4, d_2/d_1=1)$

Fig. 3. Boundary conditions for numerical simulation with $L/B=1$, $B/d_1=4$ and $d_2/d_1=1$.

۳- نتایج و بحث

شکل ۴ شبکه جریان مشکل از خطوط همپتانسیل^۱ و خطوط جریان^۲ را در حالت نمای دو بعدی در زیر سازه هیدرولیکی در شرایط بدون دیوار آب بند و وجود دو دیوار آب بند در شرایطی که $(L/B=1, d_1=66, d_2/d_1=5)$ باشد را نشان می دهد (در شرایط بدون دیوار آب بند دوگانه نسبت به شرایط $(L/B=1, B/D=1, d_1=5, d_2/d_1=1)$ به ترتیب $868/0000$ متر مکعب بر ثانیه (در واحد طول سازه) و $353/0000$ متر بر ثانیه می باشد).

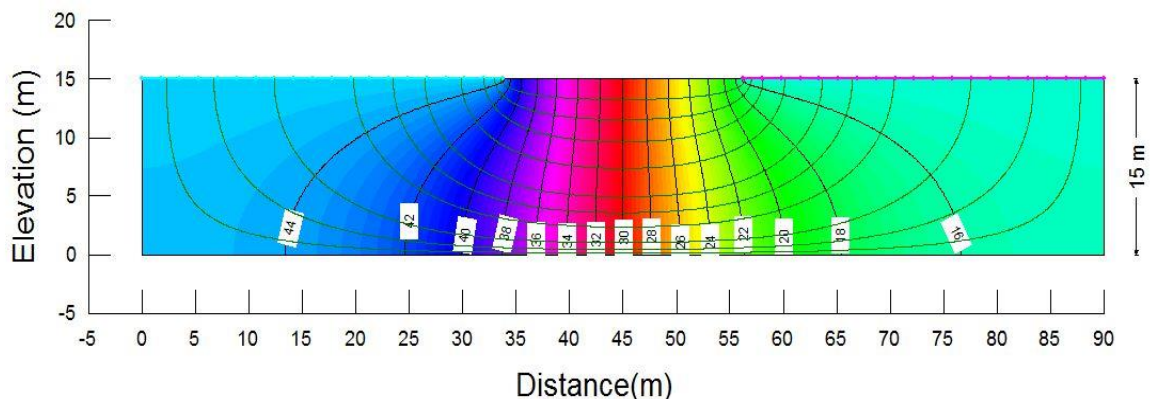
در شکل ۶ تغییرات بار آبی در زیر سازه هیدرولیکی در حالت با دیوار آب بند و بدون دیوار آب بند نشان داده شده است. همان‌طور که مشاهده می‌گردد، نحوه توزیع بار آبی در زیر سازه هیدرولیکی در حالت با دیواره آب بند دوگانه نسبت به حالت بدون دیوار آب بند تغییر پیدا کرده است. این فرایند باعث تغییراتی در مقدار نیروی بالابرند و پایداری سازه می‌شود. بدین صورت که مقادیر بار آبی در حالت وجود دیوار آب بند نسبت به حالت بدون دیوار آب بند در قسمت‌های بالادرست سازه کاهش و در قسمت پایین‌دست سازه هیدرولیکی افزایش پیدا کرده است. در شرایطی که عمق دیوار آب بند بالادرست بیشتر از عمق دیوار آب بند پایین‌دست باشد، نسبت به سایر حالت‌ها تأثیر بیشتری در کاهش بار آبی در نقاط مختلف زیر سازه داشته است و این نشان می‌دهد که برای کاهش نیروی بالابرند بهتر است عمق دیوار آب بند بالادرست نسبت به عمق دیوار آب بند انتهایی بیشتر باشد. بنابراین در صورتی که هدف از کارگذاری دیوار آب بند، کاهش نیروی بالابرند باشد، بیشتر بودن عمق دیوار آب بند پایین‌دست نسبت به بالادرست توصیه نمی‌گردد.

شکل ۴ شبکه جریان مشکل از خطوط همپتانسیل^۱ و خطوط جریان^۲ را در حالت نمای دو بعدی در زیر سازه هیدرولیکی در شرایط بدون دیوار آب بند و وجود دو دیوار آب بند در شرایطی که $(L/B=1, d_1=66, d_2/d_1=5)$ باشد را نشان می دهد (در شرایط بدون دیوار آب بند دوگانه نسبت به شرایط $(L/B=1, B/D=1, d_1=5, d_2/d_1=1)$ به ترتیب $868/0000$ متر مکعب بر ثانیه (در واحد طول سازه) و $353/0000$ متر بر ثانیه می باشد).

آب بند خطوط همپتانسیل از معادله هذلولی^۳ و خطوط جریان از معادله بیضی^۴ پیروی می‌کنند. همان‌گونه که مشاهده می‌شود، با کارگذاری دیوارهای آب بند خطوط جریان عبوری از زیر سازه هیدرولیکی فاصله گرفته و این نشان دهنده کارایی بهتر دیواره آب بند در پایین‌تر انداختن خطوط جریان زیر سازه هیدرولیکی و به تبع آن کاهش میزان نیروی بالابرند وارد بر کف سازه هیدرولیکی و افزایش پایداری سازه هیدرولیکی است. به عبارت دیگر خطوط جریان، دیوار آب بند را دور می‌زنند.

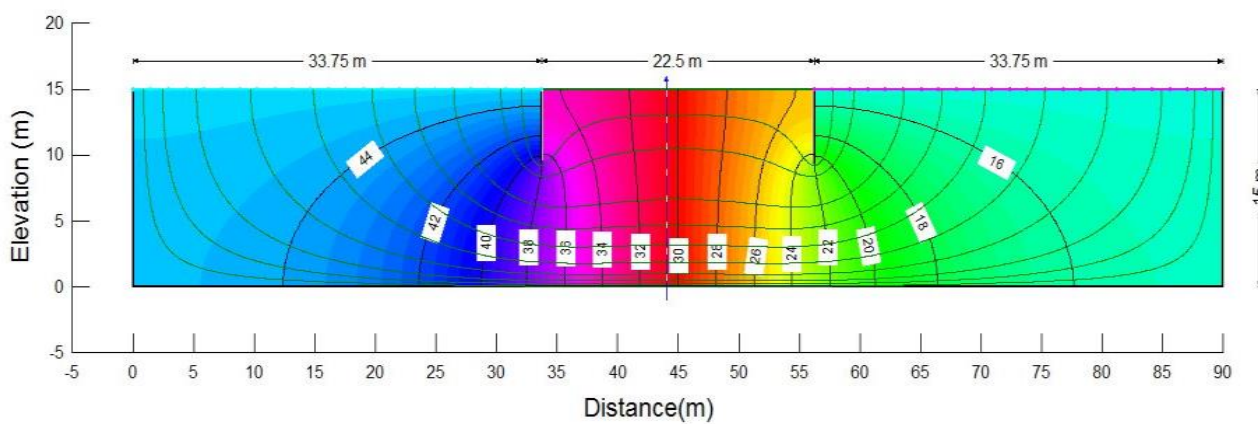
در شکل ۵ نحوه حرکت بردارهای جریان در اطراف دیوارهای آب بند دوگانه هم عمق ($d_2/d_1=1$) نشان داده شده است. مقدار جریان عبوری از زیر سازه هیدرولیکی و حداقل سرعت هیدرولیکی برای حالت $(L/B=1, d_1=66, d_2/d_1=5)$ به ترتیب $868/0000$ متر مکعب بر ثانیه (در واحد طول سازه) و $353/0000$ متر بر ثانیه می باشد.

- 1 Equipotential line
- 2 Flow line
- 3 Hyperbolas
- 4 Ellipse



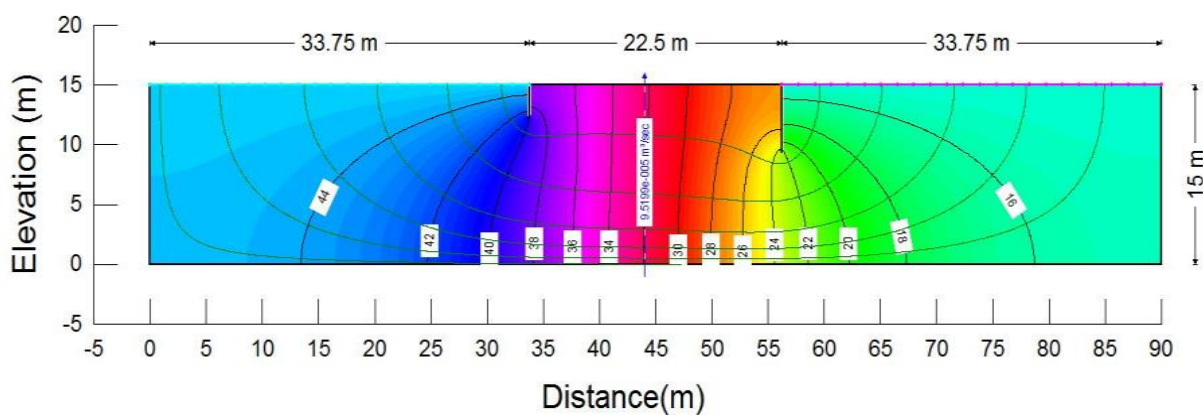
شکل ۴-الف. کنتورهای خطوط همپتانسیل و خطوط جریان در زیر سازه بدون دیواره آببند ($B/D=1/5$)

Fig. 4.a. Flow net under an apron without cutoff walls with $B/D=1.5$



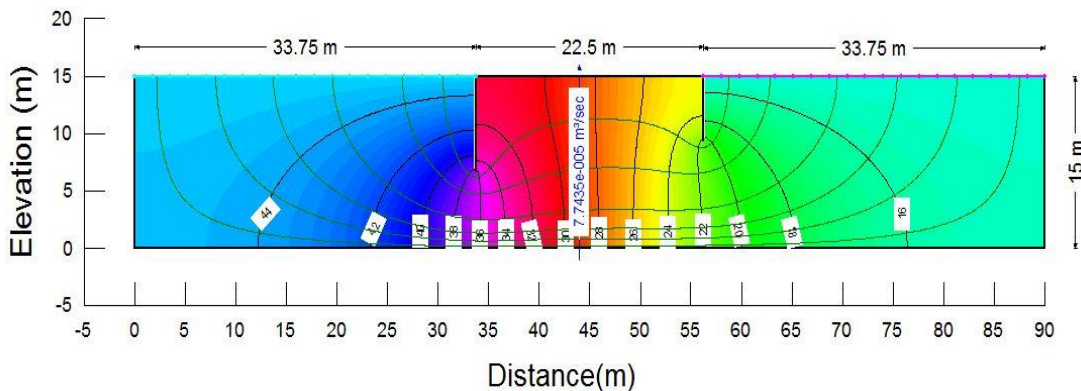
شکل ۴-ب. کنتورهای خطوط همپتانسیل و خطوط جریان در زیر سازه برای شرایط ($B/D=1.5$, $B/d_2=4$, $L/B=1$ and $d_2/d_1=0.66$)

Fig. 4.b. Flow net under an apron with two cutoff walls for $B/D=1.5$, $B/d_2=4$, $L/B=1$ and $d_2/d_1=0.66$



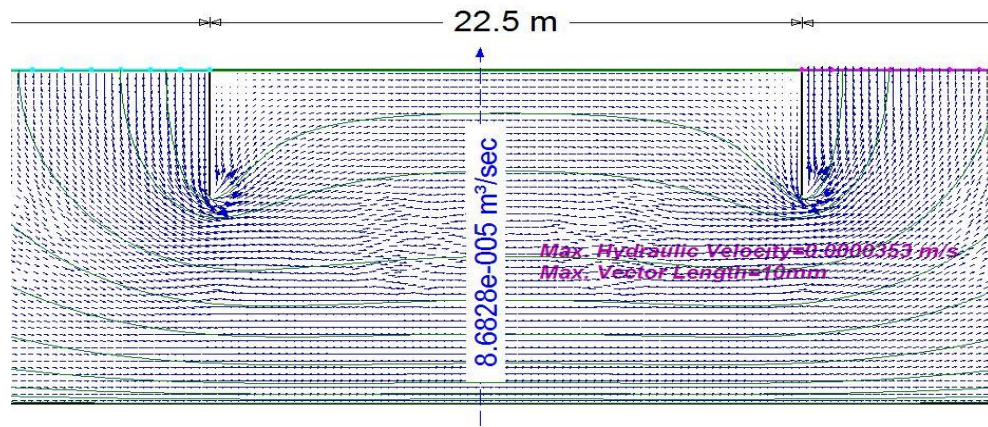
شکل ۴-ج. کنتورهای خطوط همپتانسیل و خطوط جریان در زیر سازه برای شرایط ($B/D=1.5$, $B/d_2=4$, $L/B=1$ and $d_2/d_1=1$)

Fig. 4.c. Flow net under an apron with two cutoff walls for $B/D=1.5$, $B/d_2=4$, $L/B=1$ and $d_2/d_1=1$



شکل ۴-د. کنتورهای خطوط همپتانسیل و خطوط جریان در زیر سازه برای شرایط $B/D=1.5$, $B/d_2=4$, $L/B=1$ and $d_1/d_2=2$

Fig. 4.d. Flow net under an apron with two cutoff walls for $B/D=1.5$, $B/d_2=4$, $L/B=1$ and $d_1/d_2=2$

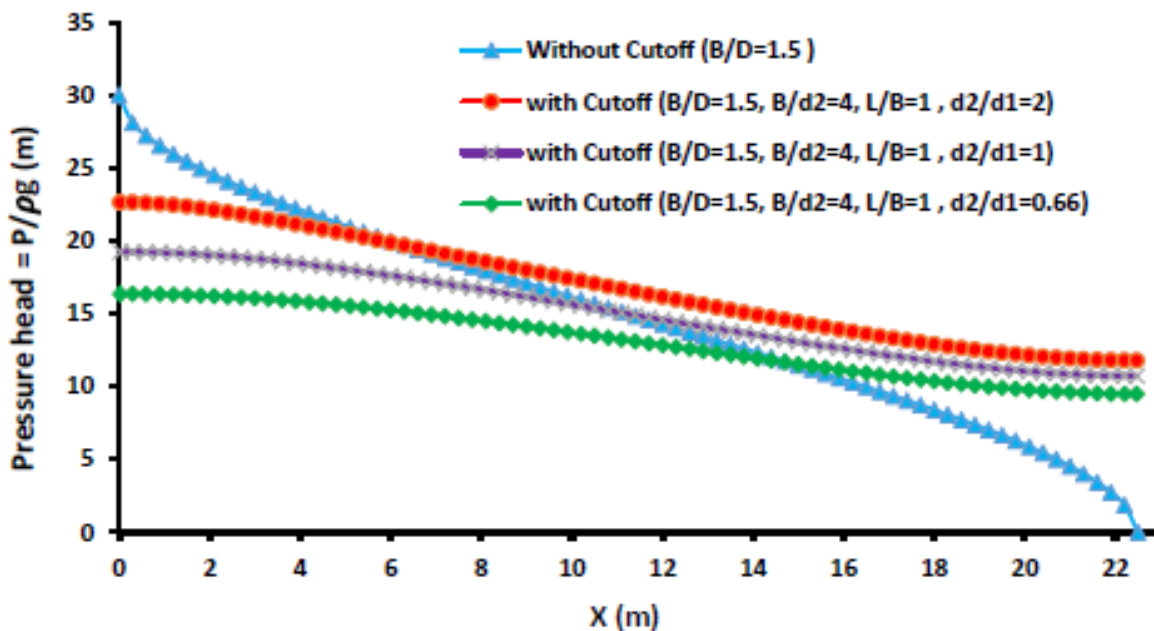


شکل ۵. خطوط و بردارهای جریان نشتی از زیر سازه برای شرایط $B/D=1.5$, $d_1/d_2=1$, $B/d_γ=4$ and $L/B=1$

Fig. 5. Flow lines and velocity vectors under the apron with two cutoff walls for $B/D=1.5$, $d_1/d_2=1$, $B/d_γ=4$ and $L/B=1$

دیوار آببند به ترتیب $1/0.871$, $0/0.967$ و $0/0.846$ به دست می‌آید که افزایش $8/7$ درصدی و کاهش $3/3$ و $15/4$ درصدی را نشان می‌دهد. بنابراین می‌توان گفت در صورتی که دیوار آببند پایین دست از دیوار آببند بالا دست عمیق‌تر باشد، باعث افزایش نیروی بالابرند خواهد شد و این مساله می‌تواند منجر به ناپایداری سازه هیدرولیکی گردد.

مقدار نیروی بالابرند در زیر سازه برای شرایطی که هیچ‌گونه دیوار آببندی کارگذاری نشده باشد، برابر $5/337$ کیلو نیوتون در واحد طول سازه است. در صورت استفاده از دیوار آببند دوگانه با شرایط $d_2/d_1=2$, $d_2/d_1=1$ و $d_2/d_1=0/66$ مقدار نیروی بالابرند برای این سه حالت به ترتیب $326/57$, $285/5$ و $366/9$ کیلو نیوتون خواهد بود. همان‌طور که مشاهده می‌گردد، نسبت نیروی بالابرند در حالت با دیواره آببند به بدون



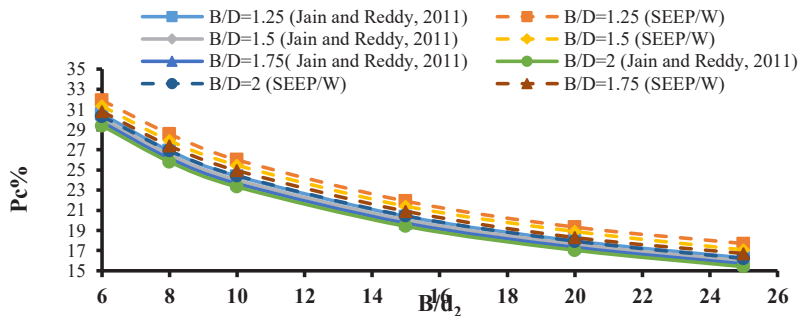
شکل ۶. تغییرات بار آبی در زیر سازه هیدرولیکی در حالت بدون دیوار آببند و وجود دیوار آببند دوگانه

Fig. 6. Uplift pressure distribution beneath the apron with and without cutoff walls

می‌کند که انتخاب محورهای عمودی در شکل ۷ بر طبق پارامترهای جین و ردی (۲۰۱۱) تنظیم گردید تا مقایسه نتایج راحت‌تر باشد. ایشان در مقاله خود جهت برآورد مقادیر معین، نمودارها را بر اساس چنین پارامترهایی رسم و روابطی هم بر اساس چنین حالتی استخراج نمودند.

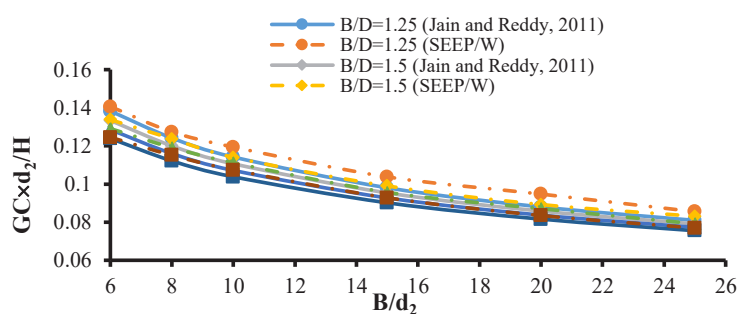
در شکل ۸ (الف، ب و ج) تغییرات نیروی بالابرند نسبی (U_0/U) به ازای تغییرات عرض سازه هیدرولیکی به عمق دیوارهای آببند (d_2/B) در سه حالتی که دیوار آببند دوم نسبت به دیوار آببند اول در فاصله به ترتیب $1/66$ و $1/33$ برابری عرض سازه و عمق دو دیوار آببند یکسان باشد ($d_1=d_2$)، نشان داده شده است. ضمناً U برآیند نیروی بالابرند با وجود دیواره آببند و U_0 برآیند نیروی بالابرند بدون وجود دیواره آببند می‌باشند. همان‌طور که در شکل ۸-الف مشاهده می‌گردد در صورتی که $L/B = 1$ باشد، با افزایش یا کاهش عمق دیوار آببند بالادرست و پایین‌دست در یک عرض ثابت و معین، نیروی بالابرند نسبی ثابت بوده و تغییری نمی‌باید. همچنین مشاهده می‌شود، با افزایش عمق شالوده نفوذپذیر (D)، مقدار عددی B/D کاهش یافته و به تبع آن نیروی بالابرند نیز کاهش می‌یابد.

جین و ردی [۱۳] روشی تحلیلی برای محاسبه نیروی بالابرند در انتهای سازه و گرادیان هیدرولیکی خروجی در حالتی که دو دیواره آببند در دو انتهای سازه قرار گیرد را ارائه نمودند. این روش تحلیلی برای شرایط ساده که عمق دو دیوار آببند یکسان باشند، ارائه شده است. لازم به ذکر است که تاکنون روش تحلیلی برای شرایط دو دیوار آببند با عمق‌های نابرابر ارائه نشده است. به منظور صحبت‌سنگی، مدل عددی تحقیق حاضر با نتایج حاصل از روش ارائه شده توسط جین و ردی [۱۳] برای شرایط معین، مورد ارزیابی قرار گرفت که نتایج این ارزیابی در نقطه کلیدی C که محل اتصال دیوار آببند به کف سازه است با محاسبه پارامترهای معین برای شرایط یکسان، در شکل ۷ (الف، ب و ج) نشان داده شده است. لازم به ذکر است در این شکل‌ها P درصد فشار نسبی در انتهای سازه یعنی بار فشاری در خروجی (h) به بار فشاری در بالادرست (H) ضرب در $100 G_C$ گرادیان هیدرولیکی در انتهای سازه و Q دبی نشتی از زیر سازه هیدرولیکی می‌باشند. نتایج نشان داد که مدل عددی با خطای کمتر از ۵٪ می‌تواند فشار در انتهای سازه و گرادیان هیدرولیکی در نقطه کلیدی C را تخمین بزند. ضمناً یادآوری



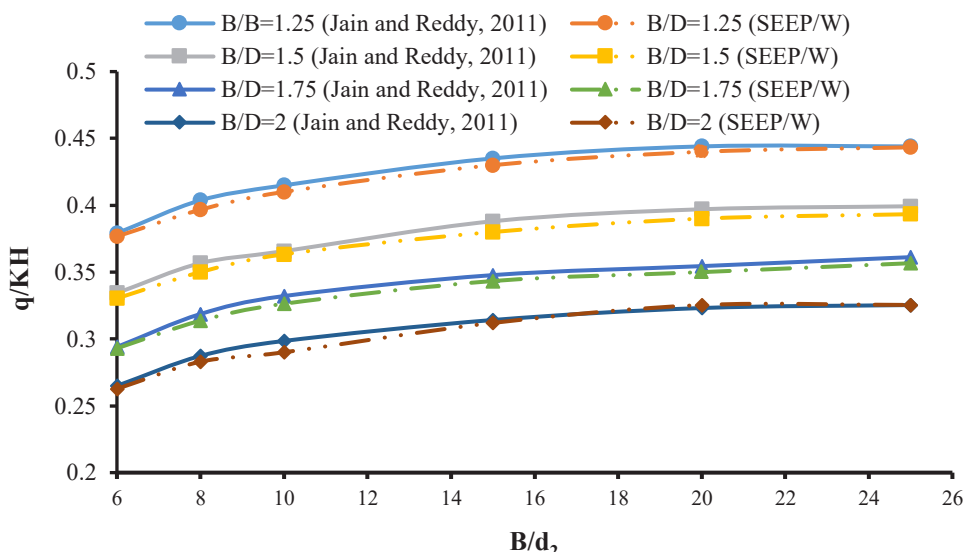
شکل ۷-الف. مقایسه نتایج روش عددی با روش تحلیلی در تعیین فشار بالابرندہ در نقطه کلیدی C

Fig. 7.a. Percent relative pressure head comparison at key point C



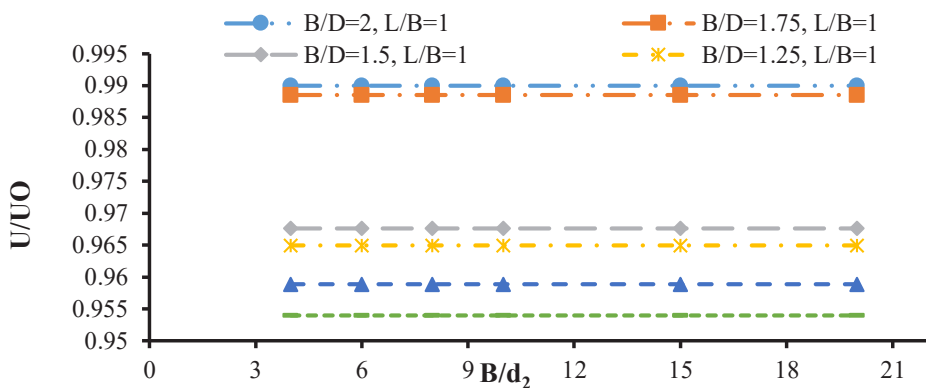
شکل ۷-ب. مقایسه نتایج روش عددی با روش تحلیلی در تعیین گرادیان هیدرولیکی در نقطه کلیدی C

Fig. 7.b. Relative hydraulic gradient comparison at key point C



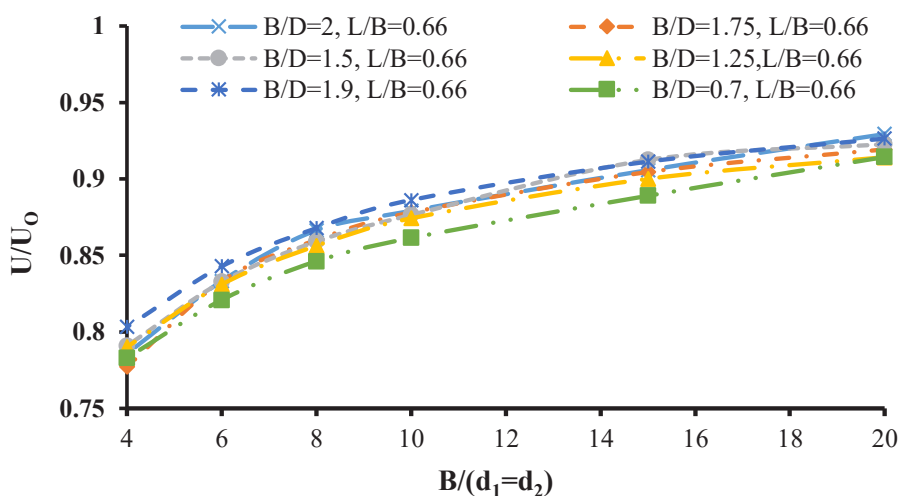
شکل ۷-ج. مقایسه نتایج روش عددی با روش تحلیلی در تعیین دبی عبوری از زیر سازه هیدرولیکی

Fig. 7.c. Comparison of the numerical simulation with the analytical solution of Jain and Reddi (2011) study (for $L/B=1$ and $d_2/d_1=1$)



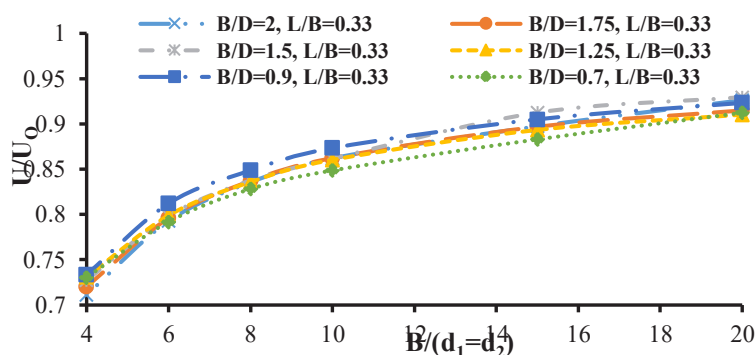
شکل ۸-۸-الف. برای حالت $L/B=1$

Fig. 8.a. For the case of $L/B=1$



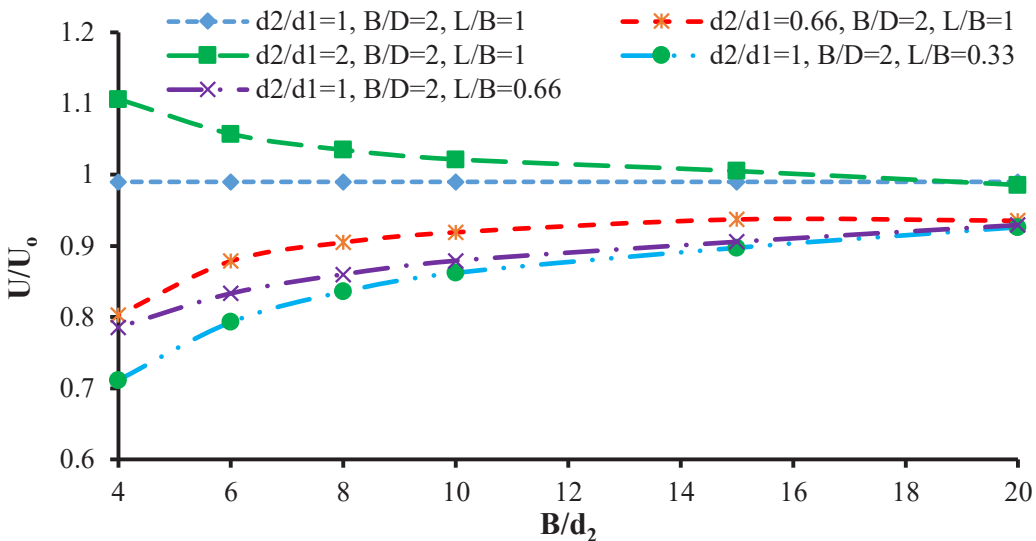
شکل ۸-۸-ب. برای حالت $L/B=0.66$

Fig. 8.b. For the case of $L/B=0.66$



شکل ۸-۸-ج. برای حالت $L/B=0.33$

Fig. 8.c. For the case of $L/B=0.33$



شکل ۹. تغییرات نیروی بالابرند نسبی به ازای تغییرات نسبی عرض سازه به عمق دیوار آببند انتهایی شرایط (B/D=2)

Fig. 9. The variation of the relative uplift force (U/U_0) with B/d_2 for $B/D=2$

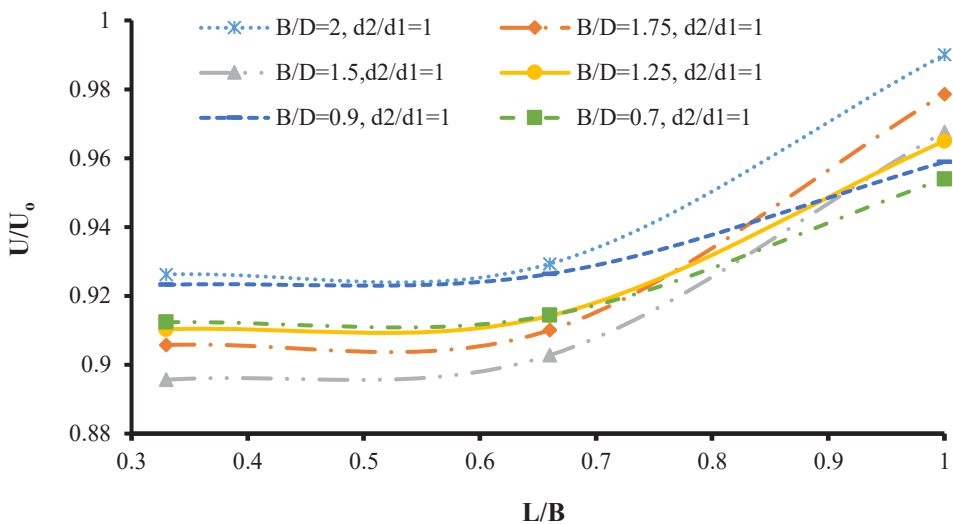
نیرو با افزایش عمق دیوار آببند بیشتر می‌شود. لازم به ذکر است که در صورتی که عمق دیوار آببند ابتدایی بیشتر از عمق دیوار آببند انتهایی باشد با افزایش عمق دیوار آببند انتهایی، مقدار d_2/B کاهش می‌یابد و در نتیجه نیروی بالابرند کاهش پیدا می‌کند و بالعکس. اگر عمق دیوار آببند انتهایی نسبت به عمق دیوار آببند ابتدایی بیشتر باشد، با افزایش عمق دیوار آببند انتهایی، مقدار d_2/B کاهش می‌یابد و در نتیجه نیروی بالابرند افزایش می‌یابد و این نحوه کارگذاری از دیوار آببند دوگانه می‌تواند نقش منفی در پایداری سازه داشته باشد.

شکل ۱۰ (الف و ب) تغییرات نیروی بالابرند نسبی (U/U_0) نسبت به تغییرات فاصله دو دیوار آببند به عرض سازه (L/B) را نشان می‌دهد. به ازای یک عرض ثابت، با کاهش فاصله دو دیوار آببند نسبت به هم نیروی بالابرند کاهش پیدا می‌کند. در نسبت

$L/B = 7/0 < L/B < 1/2$ = شب نیروی بالابرند نسبی تغییر محسوسی می‌کند. بدین معنی که در شرایطی که $L/B > 7/0$ باشد، سازه از لحاظ پایداری در وضعیت خطرناکتری قرار خواهد گرفت. با مقایسه شکل ۸ (الف و ب) مشاهده می‌شود که با افزایش عمق دو دیوار آببند، شب کاهشی نیروی بالابرند افزایش می‌یابد.

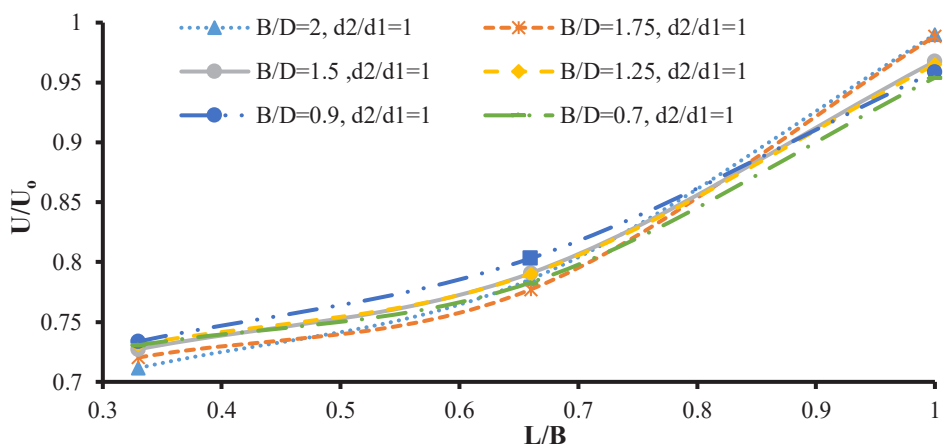
در شکل ۸ (ب و ج) نیز تغییرات نیروی بالابرند نسبی به ازای تغییرات عرض دیوار آببند و عرض سازه به ترتیب برای حالتی که $L/B = 0.66$ و $L/B = 0.33$ باشد، نشان داده شده است. همان‌طور که مشاهده می‌گردد با افزایش عمق دیوار آببند، نیروی بالابرند نسبی به ازای یک عرض معین کاهش می‌یابد و این کاهش در صورتی که دیوارهای آببند به هم نزدیک باشد، بیشتر می‌شود. همچنین مشاهده می‌شود که با افزایش عمق دیوار آببند و کاهش عرض سازه شب تغییرات نیروی بالابرند نسبی بیشتر می‌گردد و این نشان می‌دهد که برای یک عرض ثابت و فاصله معین از دیوارها، استفاده از دیوار آببند عمیق‌تر شدت کاهش بیشتری در برآیند نیروی بالابرند را نسبت به حالت معکوس فراهم می‌آورد.

شکل ۹ تغییرات نیروی بالابرند نسبی (U/U_0) نسبت به تغییرات عرض سازه به عمق دیوار آببند انتهایی (d_2/d_1) را نشان می‌دهد. همان‌طور که مشاهده می‌گردد در حالتی که دو دیوار آببند با عمق یکسان ($d_2=d_1$) در بالادست و پایین‌دست سازه واقع شود، افزایش یا کاهش عمق دیوار آببند تأثیر بسزایی در مقدار نیروی بالابرند ندارد. ولی در صورتی که دیوار آببند انتهایی به سمت دیوار آببند ابتدایی نزدیک‌تر گردد، مقدار نیروی بالابرند نسبت به حالتی که دیوار آببند بالادست و پایین‌دست در دو انتهای سازه واقع شود، کاهش می‌یابد و این در حالی است که در صد کاهش این



شکل ۱۰-الف. برای حالت $B/d_2=20$

Fig.10.a. For the case of $B/d_2=20$

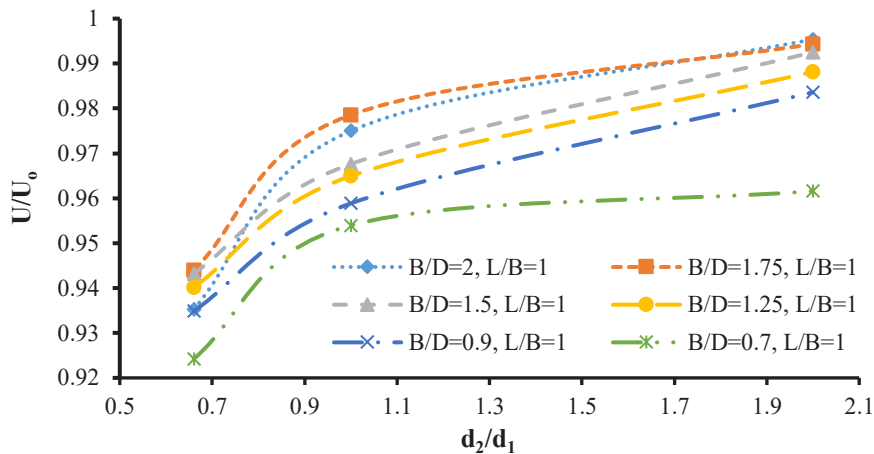


شکل ۱۰-ب. برای حالت $B/d_2=4$

Fig.10.b. For the case of $B/d_2=4$

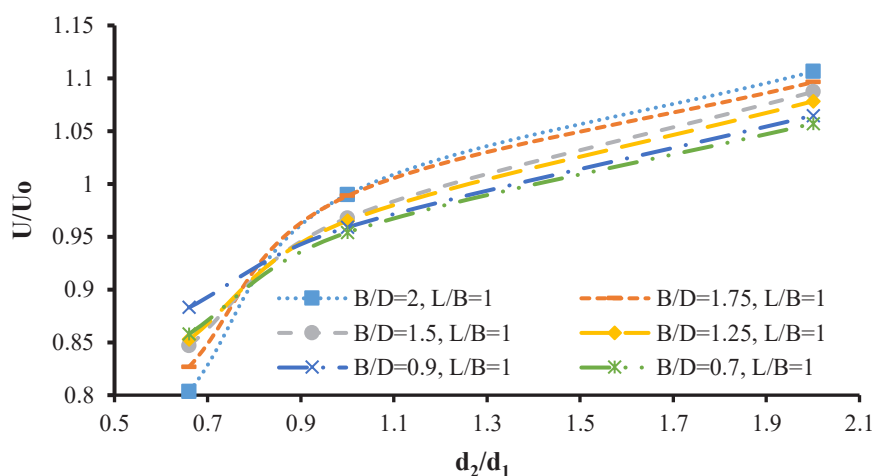
شکل ۱۰. تغییرات نیروی بالابرند نسبی نسبت به تغییرات فاصله دو دیوار آب بند به عرض سازه برای $d_2/d_1=1$

Fig.10. Variation of relative uplift force (U/U_0) with distance between the two cutoff walls (L) over the hydraulic structure width (B), for $d_2/d_1=1$



شکل ۱۱-الف. تغییرات نیروی بالابرند نسبی نسبت به تغییرات عمق نسبی دو دیوار آب بند برای شرایط ($B/d_2=20$)

Fig. 11.a. For the case of $B/d_2=20$

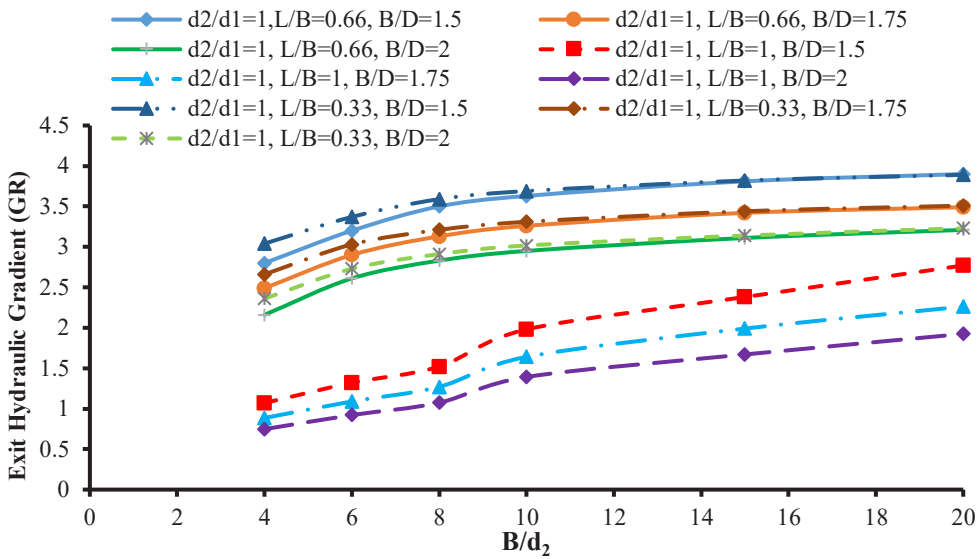


شکل ۱۱-ب. تغییرات نیروی بالابرند نسبی نسبت به تغییرات عمق نسبی دو دیوار آب بند برای شرایط ($B/d_2=4$)

Fig. 11.b. For the case of $B/d_2=4$

عمق پی نفوذپذیر بیشتر باشد، نیروی بالابرند کمتر خواهد بود. همچنین از شکل ۱۱-ب می‌توان نتیجه گرفت که برای $d_2/d_1 > 20$ نیروی بالابرند نسبی بزرگتر یک به دست می‌آید و نشان می‌دهد که مقدار نیروی بالابرند در حالت با دیوار آب بند نسبت به حالت مبنا یعنی بدون دیوار آب بند بزرگ‌تر بوده و این نحوه کارگذاری بر پایداری سازه اثر منفی داشته است که نباید در طراحی چنین ترکیبی از دیوار آب بند دوگانه مورد استفاده مهندسان طراح قرار گیرد.

در شکل ۱۱ (الف و ب) تغییرات نیروی بالابرند نسبی (U/U_0) نسبت به تغییرات عمق دو دیوار آب بند (d_2/d_1) در شرایطی که فاصله آن‌ها برابر عرض سازه باشد ($L/B=1$)، نشان داده شده است. نتایج حاکی از آن است که با افزایش عمق دیوار آب بند انتهایی در پایین دست، نیروی بالابرند نسبی افزایش پیدا می‌کند و این نشان می‌دهد که برای کاهش نیروی بالابرند باید عمق دیواره آب بند در بالا دست نسبت به پایین دست بیشتر باشد. همچنین به ازای $B/D=0.7$ نیروی بالابرند نسبی به میزان قابل توجهی کمتر از $L/B=1/75$ است که نشان می‌دهد هر چه عرض سازه کمتر و با



شکل ۱۲. تغییرات گرادیان هیدرولیکی خروجی به ازای تغییرات نسبی عرض سازه به عمق دیوار آب بند انتهایی شرایط ($d_2/d_1 = 1$)

Fig. 12. Exit hydraulic gradient (GR) for values of B/d_2 for $d_2/d_1 = 1$

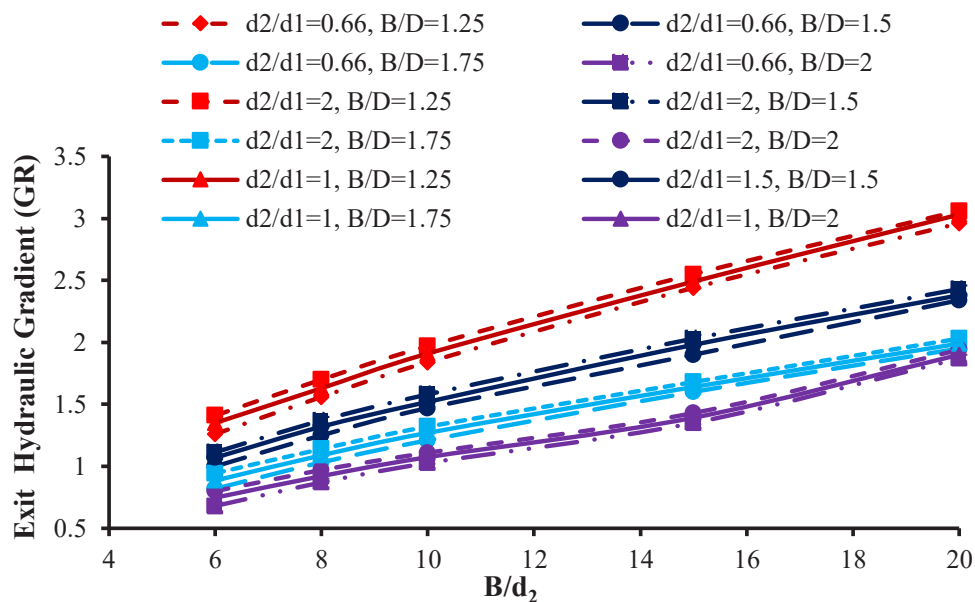
در شکل ۱۳ تغییرات گرادیان هیدرولیکی خروجی به ازای عمق نسبی دیوار آب بند پایین دست نشان داده شده است. ملاحظه می شود که با افزایش عمق دیوار آب بند پایین دست، از گرادیان هیدرولیکی خروجی کاسته می شود. با افزایش عمق دیوار آب بند انتهایی، طول مسیر خوشی^۱ جریان عبوری در زیر سازه هیدرولیکی افزایش و به تبع آن گرادیان هیدرولیکی خروجی کاهش پیدا می کند.

در شکل ۱۳-ب تغییرات نسبی دبی جریان نشتی از زیر سازه (Q/Q_0) به ازای عمق نسبی دو دیوار آب بند (d_2/d_1) نشان داده شده است. با افزایش عمق دیوار آب بند در پایین دست، مقدار جریان عبوری از زیر سازه کاهش پیدا می کند. همچنین به ازای $d_2/d_1 < 1$ وضعیت کاهش دبی نشتی بهتر می شود.

در شکل ۱۴ کانتورهای نیروی بالابرند نسبی (U/U_0) در برابر تغییرات d_2/d_1 و B/D رسم شده است. کانتورهای نیروی بالابرند نسبی برابر یک پررنگ شده تا مرز بین طراحی اقتصادی و غیراقتصادی مشخص گردد. بدین معنی که برای نیروی بالابرند نسبی کمتر از یک ($U/U_0 < 1$)، شاهد کاهش نیروی بالابرند نسبی بوده و لذا طرحی مقرون به صرفه را

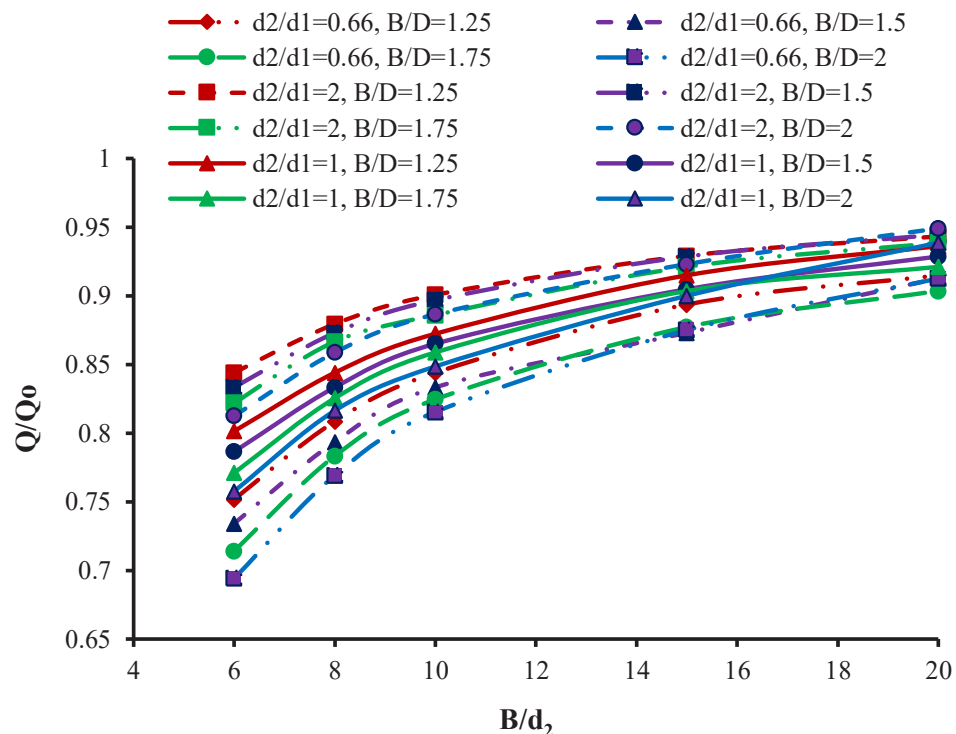
در شکل ۱۲ تغییرات گرادیان هیدرولیکی خروجی (G_R) در برابر نسبت عرض به عمق دیوار آب بند انتهایی (B/d_2) نشان داده شده است. با کاهش فاصله دو دیوار آب بند نسبت به هم و کاهش عمق دیوار آب بند انتهایی، گرادیان هیدرولیکی خروجی افزایش می یابد. همچنین در شرایطی که فاصله دو دیوار آب بند برابر عرض سازه باشد ($L/B = 1$) یعنی دو دیوار آب بند در ابتداء و انتهای سازه قرار داشته باشند، گرادیان هیدرولیکی خروجی نسبت به حالتی که دیوار آب بند انتهایی در فواصل یک - سوم یا دو - سوم نسبت به دیوار آب بند ابتدایی باشد، کمتر است.

در صورتی که دو دیوار آب بند درست در ابتداء و انتهای سازه باشد، گرادیان هیدرولیکی خروجی نسبت به حالتی که دیوار آب بند انتهایی در فواصل یک - سوم و دو - سوم نسبت به دیوار آب بند ابتدایی باشد، کمتر است. در صورتی که دیوار آب بندی درست در انتهای سازه قرار نگیرد، شبیه دیاگرام فشار بالابرند به سمت بی نهایت میل می کند و جهت نیروی نشت در انتهای سازه به سمت رو به بالا خواهد بود. این امر می تواند ذرات خاک پایین دست سازه را تحت شرایطی از جای خود جا به جا نماید؛ بنابراین می توان گفت وجود دیوار آب بند انتهایی در انتهای سازه در جهت کاهش گرادیان هیدرولیکی خروجی برای افزایش ضربی اطمینان در برابر پدیده زیرشوابی پی سازه و یا پایپینگ بسیار لازم و ضروری است.



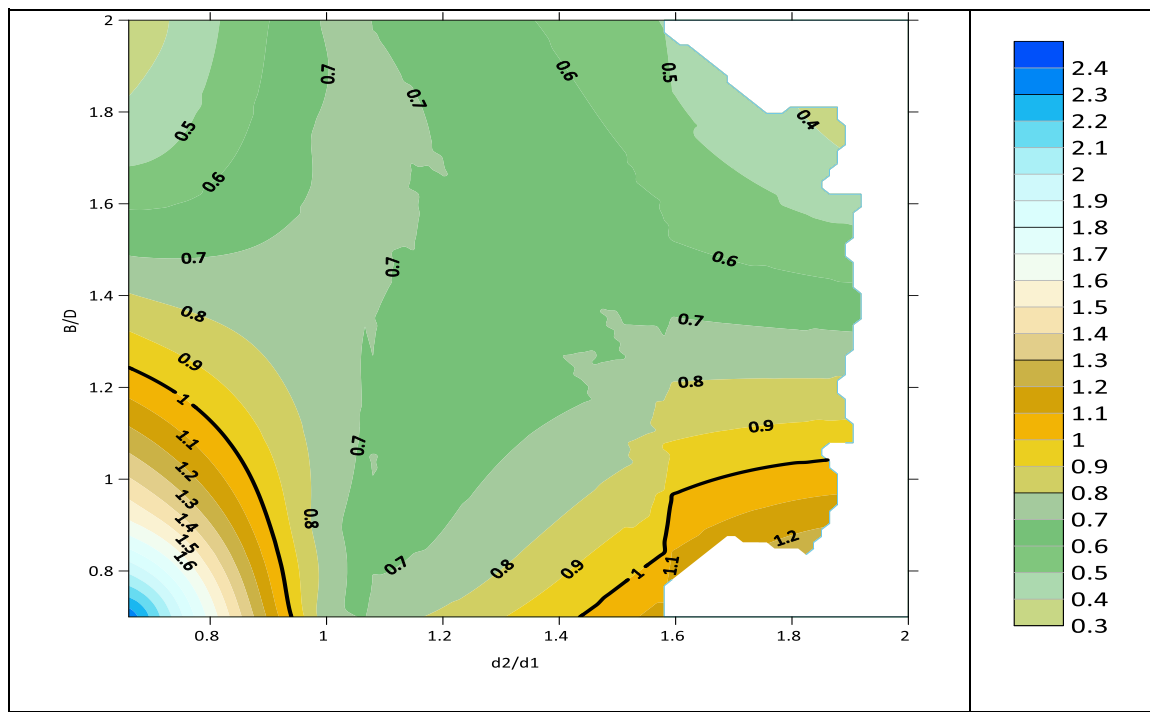
شکل ۱۳-الف. تغییرات گرادیان هیدرولیکی خروجی به ازای تغییرات نسبی عرض سازه به عمق دیوار آب بند انتهایی

Fig. 13.a. Changes in Exit hydraulic gradient to changes in relative hydraulic structure width



شکل ۱۳-ب. تغییرات دبی نسبی جریان خروجی به ازای تغییرات نسبی عرض سازه به عمق دیوار آب بند انتهایی

Fig. 13.b. Changes of the relative discharge seepage beneath the hydraulic gradient (Q/Q_0) with B/d_2



شکل ۱۴. کانتورهای نیروی بالابرند نسبی (U/U_o) در برابر تغییرات d_2/d_1 و B/D

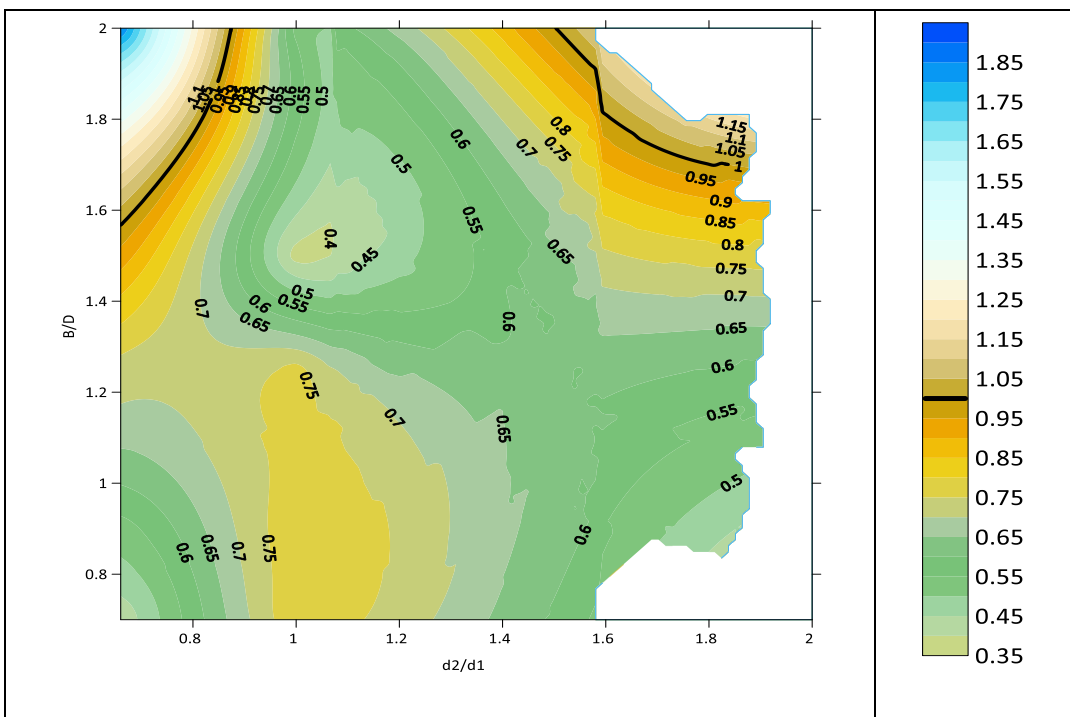
Fig. 14. Values of U/U_o with the d_2/d_1 and B/D

در شکل ۱۷ نمودار پراکندگی داده‌ها برای روابط رگرسیونی در تخمین نیروی بالابرند نسبی برای هر یک از روابط ۱ تا ۹ در جدول ۲ ارائه شده است. با توجه به شکل مشاهده می‌گردد که بیشتر نقاط بر روی یا نزدیکی خط نیمساز قرار ($y=x$) گرفته‌اند. این نشان می‌دهد که هر یک از روابط رگرسیونی در تخمین مقدار نیروی بالابرند نسبی از دقت مناسبی برخوردار هستند. همچنین در این نمودار مشاهده می‌شود که کارگذاری دیوار آب‌بند دوگانه همیشه نمی‌تواند در کاهش نیروی بالابرند مؤثر واقع شود، زیرا در برخی از شرایط شبیه‌سازی عددی، مقداری نیروی بالابرند نسبی بزرگ‌تر از یک به دست می‌آید ($U > U_o$) و این نشان می‌دهد که تحت این شرایط به کارگیری دیوار آب‌بند دوگانه در پایداری سازه هیدرولیکی نه تنها مؤثر نبوده است، بلکه باعث افزایش نیروی بالابرند نسبت به حالت بدون دیوار آب‌بند نیز شده است. لذا تحت این شرایط طراحی مقرن به صرفه نخواهد بود و باستی در نحوه به کارگیری و کارگذاری دیوارهای آب‌بند از لحاظ عمق و فاصله تجدید نظر گردد.

ارائه می‌دهد. در شکل ۱۵ گرادیان هیدرولیکی خروجی (G_R/G_{RO}) در برابر تغییرات d_2/d_1 و B/D رسم شده است. در این حالت نیز برای گرادیان هیدرولیکی نسبی کمتر از یک (< 1)، شاهد کاهش گرادیان هیدرولیکی نسبی بوده و لذا طرحی اقتصادی را ارائه می‌دهد. فصل مشترک دو شکل ۱۴ و ۱۵ محدوده‌های مناسب و نامناسب برای طراحی دو دیواره آب‌بند را نشان می‌دهد (شکل ۱۶).

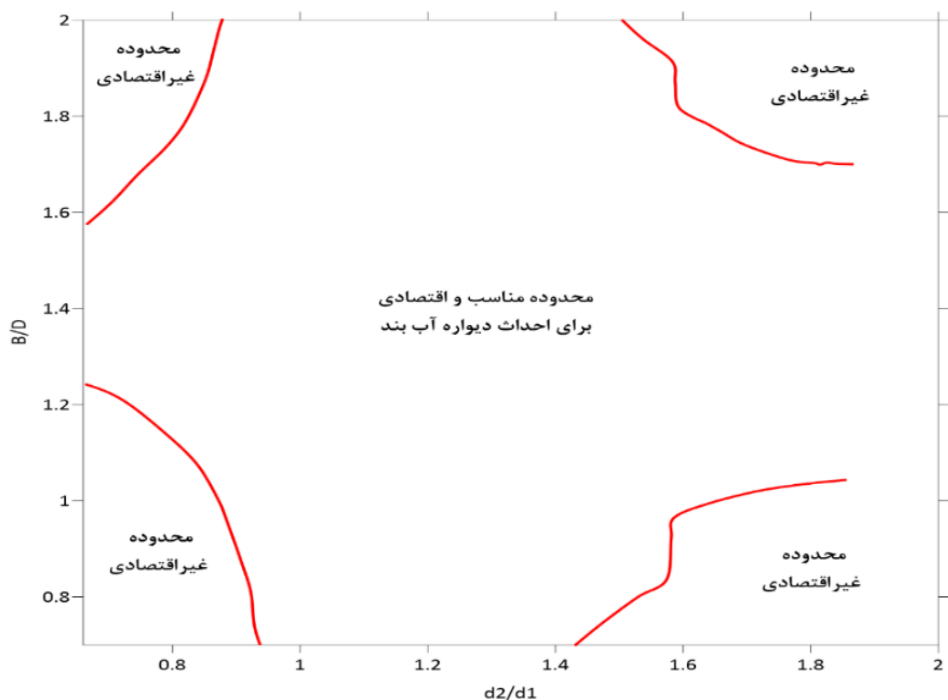
۳-۱- ارائه روابط رگرسیونی

برای محاسبه نیروی بالابرند نسبی، روابط رگرسیونی غیرخطی با استفاده از نرم‌افزار Curve Expert Professional، استخراج گردید. نتایج این محاسبات در جدول ۲ نشان داده شده است. تعداد ۹ معادله به ازای مقادیر مختلف d_2/d_1 و L/B به دست آمد. معیارهای آماری مورد استفاده در تحقیق حاضر برای ارزیابی دقت روابط استخراجی محاسبه نیروی بالابرند نسبی، ضریب تبیین (R^2)، جذر میانگین مربعات خطا (RMSE) و درصد خطای نسبی (RE%) می‌باشند.



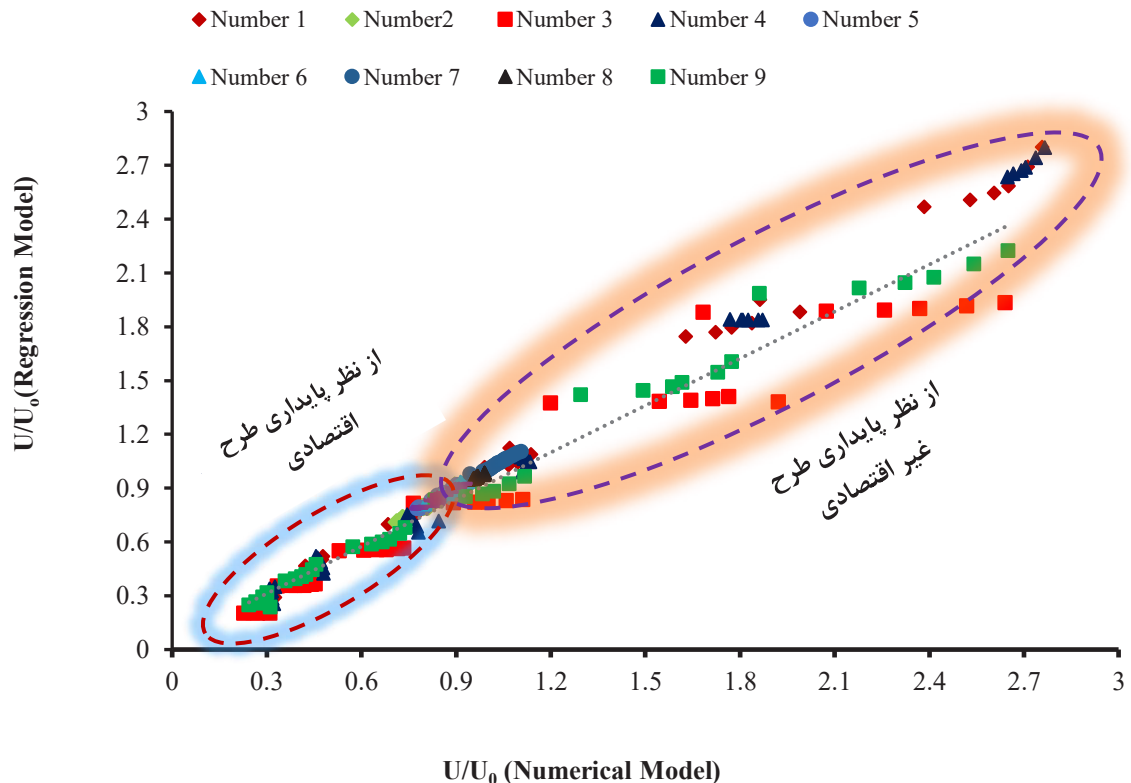
شکل ۱۵. کانتورهای گرادیان هیدرولیکی خروجی (GR/GRo) در برابر تغییرات d_2/d_1 و B/D

Fig. 15. Values of GR/GRo with the d_2/d_1 and B/D



شکل ۱۶. فصل مشترک دو شکل ۱۴ و ۱۵ برای تعیین منطقه‌های مناسب و نامناسب برای طراحی دو دیواره آب بند

Fig. 16. The four regions for economic and non-economic designs considering both uplift force and exit hydraulic gradient



شکل ۱۷. نمودار پراکندگی داده‌ها برای نیروی بالابرند نسبی در شرایط وجود دیوار آببند دوگانه

Fig. 17. Scatter plot relating regression predictions and numerically simulated U/U_0 values.

جدول ۲. روابط رگرسیونی در تخمین نیروی بالابرند نسبی

Table 2. Coefficient values used for estimating U/U_0

Parameters	$\frac{U}{U_0} = \frac{(a + b \times \frac{B}{D} + c \times \frac{B}{d_2})}{(1 + e \times \frac{B}{D} + f \times \frac{B}{d_2})}$						Assessment Criteria				
	No.	L/B	d_2/d_1	a	b	c	e	f	R^2	RE%	RMSE
1	0.33	0.66	3.56E+1	-1.37E+1	5.55E-2	1.41E+1	-5.97E-2	0.996	7.9	0.139	
2	0.33	1	3.28E-1	-3.49E-1	4.44E-1	-4.28E-1	4.56E-1	0.986	0.65	0.0072	
3	0.33	2	9.81E+0	-4.03E+0	3.89E-2	3.92E+0	-4.29E-2	0.976	6.2	0.108	
4	0.66	0.66	3.94E+7	-1.36E+7	-2.23E+5	1.64E+7	-1.20E+5	0.964	5.6	0.155	
5	0.66	1	6.34E-1	-2.18E-1	2.26E-1	-2.61E-1	2.32E-1	0.968	0.67	0.0076	
6	0.66	2	2.1E+1	-8.24E+0	1.00E-1	9.85E+0	-7.57E-2	0.991	4.7	0.067	
7	1	0.66	8.11E-1	-6.42E-1	1.94E-1	-7.17E-1	2.02E-1	0.964	0.58	0.0074	
8	1	1	9.43E-1	-2.16E-1	1.59E-6	-2.42E-1	1.64E-6	0.927	2.66	0.0039	
9	1	2	4.5E+3	1.57E+4	1.53E+4	1.20E+4	1.60E+4	0.966	0.35	0.0067	

۴- نتیجه‌گیری

پیشنهادها

پیشنهاد می‌گردد در تحقیقات آتی دیوارهای آببند چندگانه (بیش از دو دیواره آببند) نیز مدنظر قرار گیرد. به عنوان مثال، استفاده از سه دیواره آببند کم عمق به جای دو دیواره آببند عمیق می‌تواند مورد بررسی قرار گرفته و با توجه به مقادیر نیروی بالابرند و گرادیان هیدرولیکی، مزیت یکی بر دیگری مورد ارزیابی قرار گیرد. علاوه بر عمق، فاصله سه دیواره آببند از هم دیگر یقیناً بر شرایط هیدرولیکی طرح تأثیرگذار بوده و می‌تواند به عنوان یک متغیر دیگر با شبیه‌سازی عددی مورد بررسی قرار گیرد. ضمناً در عمل، طراحی سازه‌ها برای حالت نشت دائمی از پی‌صورت می‌گیرد که در این مطالعه هم مدنظر قرار گرفته است. لیکن بررسی نیروی بالابرند در حالت جریان غیرماندگار (غیردائمی) نیز قابل پیشنهاد است. حالت اخیر در زمان وقوع سیل و یا فروکش آن اتفاق می‌افتد.

۵- فهرست علائم

- U : نیروی بالابرند در حالت وجود دیوار آببند، kPa
- U_0 : نیروی بالابرند در حالت بدون دیوار آببند، kPa
- Q : دبی جریان نشتی در حالت وجود دیوار آببند، m^3/sec
- Q_0 : دبی جریان نشتی در حالت بدون دیوار آببند، m^3/sec
- q : دبی جریان نشتی در واحد عرض سازه هیدرولیکی، m^2/sec
- G_R : گرادیان هیدرولیکی خروجی، بی‌بعد
- G_{R0} : گرادیان هیدرولیکی خروجی در حالت بدون دیوار آببند، بی‌بعد
- G_E : گرادیان هیدرولیکی در ابتدای سازه هیدرولیکی، بی‌بعد
- G_C : گرادیان هیدرولیکی در انتهای سازه هیدرولیکی، بی‌بعد
- $P_C\%$: درصد بار فشاری در ابتدای سازه هیدرولیکی، بی‌بعد
- $P_E\%$: درصد بار فشاری در انتهای سازه هیدرولیکی، بی‌بعد
- B : عرض سازه هیدرولیکی، m
- L : فاصله دو دیوار آببند، m
- d_2 : عمق دیوار آببند انتهایی، m
- d_1 : عمق دیوار آببند ابتدایی، m
- D : عمق پی‌سازه هیدرولیکی، m
- H : ارتفاع آب در پشت سازه هیدرولیکی، m
- K : هدایت هیدرولیکی اشباع خاک، m/sec

در این تحقیق مدل‌های مختلفی با وجود دو دیواره آببند در زیر سازه بررسی گردید. تعداد مدل‌های عددی ۳۳۰ بوده (۶ مدل عددی برای حالت مینا یعنی بدون دیوار آببند) و حل معادلات حاکم به همراه شرایط مرزی، به روش المان‌های محدود (FEM) انجام گرفت. عمق دیواره آببند و فاصله آن‌ها از یکدیگر از جمله متغیرها می‌باشند. هدف محاسبه مقدار نیروی بالابرند، دبی نشتی از زیر سازه و گرادیان هیدرولیکی خروجی است. اهم نتایج به شرح زیر خلاصه می‌شوند:

- مقایسه بین نتایج روش تحلیلی ارائه شده توسط جین و ردی [۱۳] و مدل عددی المان‌های محدود نشان داد که روش عددی با خطای کمتر از ۵٪ می‌تواند فشار آب منفذی در انتهای سازه و گرادیان هیدرولیکی خروجی را تخمین بزند.

• اگر دیوار آببند پایین دست از دیوار آببند بالادرست عمیق‌تر باشد، باعث افزایش برآیند نیروی بالابرند نسبت به حالت بدون دیوار آببند خواهد شد. در غیر این صورت ($d_2/d_1 < 1$) باعث کاهش این نسبت خواهد شد. لذا توصیه می‌شود در طراحی، نسبت $1 < d_1/d_2$ رعایت شود.

• به ازای یک عرض ثابت برای سازه، با کاهش فاصله دو دیوار آببند نسبت به هم نیروی بالابرند کاهش پیدا می‌کند. در نسبت $0/7$ ، $L/B = L/B$ شیب نیروی بالابرند نسبی تغییر محسوسی می‌کند. بدین معنی که در شرایطی که $0/7 < L/B < 1/0$ باشد، سازه از لحاظ پایداری در وضعیت خطرناک‌تری قرار خواهد گرفت. همچنین نتایج نشان داد که هر چه عرض سازه کمتر و یا عمق پی‌نفوذی‌تر بیشتر باشد، نیروی بالابرند کمتر خواهد بود.

• با افزایش فاصله دو دیوار آببند نسبت به هم و افزایش عمق دیوار آببند انتهایی، گرادیان هیدرولیکی خروجی کاهش می‌یابد. هنگامی که دو دیوار آببند در ابتدا و انتهای سازه قرار داشته باشند، گرادیان هیدرولیکی خروجی نسبت به حالتی که دیوار آببند انتهایی در فواصل یک - سوم یا دو - سوم نسبت به دیوار آببند ابتدایی باشد، کمتر است.

• با افزایش عمق دیوار آببند در پایین دست، مقدار جریان عبوری از زیر سازه کاهش پیدا می‌کند. همچنین به ازای $1 < d_2/d_1$ وضعیت کاهش دبی نشتی بهتر می‌شود. بر اساس مقدار نیروی بالابرند و گرادیان هیدرولیکی خروجی، مناطق مستعد برای طراحی دیوارهای آببند توصیه شد.

منابع

- location for vertical drains in gravity dams, Geotechnical and Geological Engineering, 35(2) (2017) 799-808.
- [8] F. Salmasi, M. Nouri, Effect of upstream semi-impervious blanket of embankment dams on seepage, ISH Journal of Hydraulic Engineering, 25(2) (2019) 143-152.
- [9] F. Salmasi, B. Mansuri, A. Raufi, Use of numerical simulation to measure the effect of relief wells for decreasing uplift in a homogeneous earth dam, Civil Engineering Infrastructures Journal, 48(1) (2015) 35-45.
- [10] R. Norouzi, F. Salmasi, H. Arvanaghi, Effect of cut off wall on hydraulic gradient and seepage in the Sabalan rock fill dam by numerical simulation, Hydrogeology, 2(1) (2017) 71-84 (In Persian).
- [11] F. Salmasi, R. Norouzi, J. Abraham, B. Nourani, S. Samadi, Effect of Inclined Clay Core on Embankment Dam Seepage and Stability Through LEM and FEM, Geotechnical and Geological Engineering, 38(6) (2020) 6571-6586, <https://doi.org/10.1007/s10706-020-01455-7>
- [12] F. Salmasi, B. Nourani, J. Abraham, R. Norouzi, Numerical investigation of relief well performance for decreasing uplift pressure under embankment dams, International Journal of Environmental Science and Technology, 18, 2819–2830 (2021), <https://doi.org/10.1007/s13762-020-03030-2>
- [13] A.K. Jain, L.N. Reddi, Finite-depth seepage below flat aprons with equal end cutoffs, Journal of Hydraulic Engineering, 137(12) (2011) 1659-1667.
- [1] J. Abrishami, N. Vahhab Rajaei, Gravity concrete dams: design and construction, Published by Astan Quds Razavi, 2000 (In Persian).
- [2] A. Shamsaii, Design and construction of storage dams, Iran University of Science and Technology, 2003 (In Persian).
- [3] R. Ghobadian, A.F. Choghabaghi, S. Mohamadi, The Effect of cutoff curtain location on phreatic seepage line and seepage discharge by numerical finite volumes method, Caspian Journal of Applied Sciences Research, 2(8) (2013).
- [4] M. Beirami, Water conveyance structures, Isfahan university Tecnology publication center, 2004, (In Persian).
- [5] M. Yousefi, M. Parvizi, M. Sedghi-Asl, Laboratory Investigation the effects of sheet pile on seepage control and sand boiling through alluvial foundation of hydraulic structures, Amirkabir Jounral of Science & Research Civil and Enviromental Engineering (ASJR-CEE), 48(3) (2016) 121-123.
- [6] H.F. Aghajani, M.M. Anzabi, Z. Sheikhi, R. Shokri, Selecting Optimum Cutoff Wall Position for Rehabilitation of an Inclined Core Earthfill Dam, in: GeoShanghai International Conference, Springer, 2018, pp. 252-260.
- [7] B. Nourani, F. Salmasi, A. Abbaspour, B. Oghti Bakhshayesh, Numerical investigation of the optimum

چگونه به این مقاله ارجاع دهیم

F. Salmasi , B. Nourani, R. Norouzi , Investigation of seepage, uplift forces and hydraulic gradient under hydraulic structures with different configurations of dual-cutoff walls, Amirkabir J. Civil Eng., 54(4) (2022) 1631-1650.

DOI: [10.22060/ceej.2021.19864.7274](https://doi.org/10.22060/ceej.2021.19864.7274)

